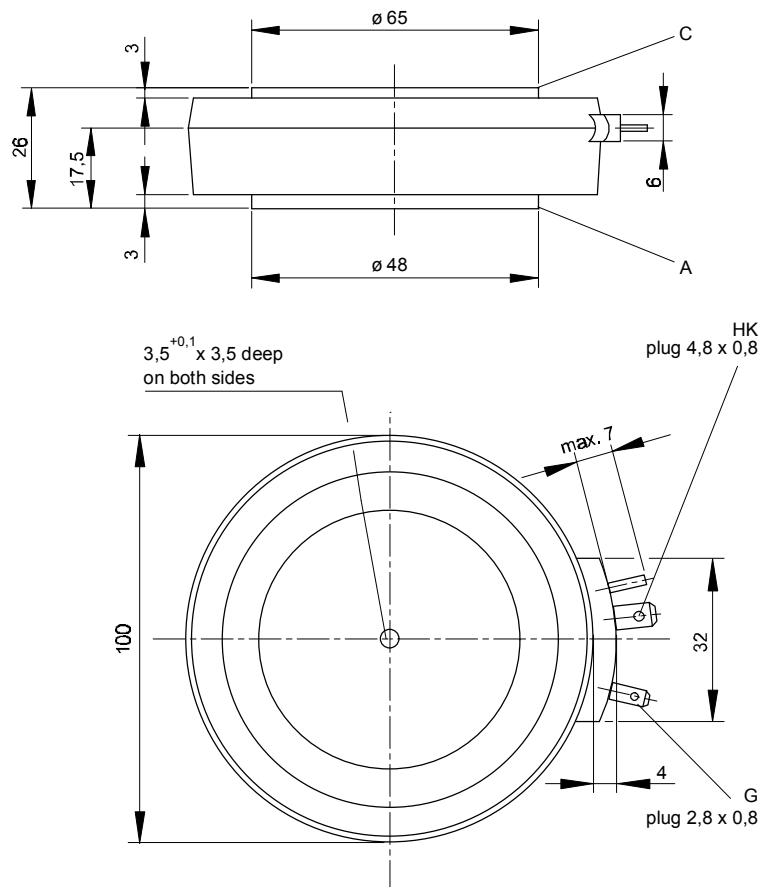




European Power-
Semiconductor and
Electronics Company

Marketing Information T 1989 N



T 1989 N

Elektrische Eigenschaften

Höchstzulässige Werte

Periodische Vorwärts- und Rückwärts-Spitzenspannung
Vorwärts-Stoßspitzenperrspannung

Rückwärts-Stoßspitzenperrspannung

Durchlaßstrom-Grenzeffektivwert

Dauergrenzstrom

Stoßstrom-Grenzwert

Grenzlastintegral

Kritische Stromteilheit

Kritische Spannungsteilheit

Electrical properties

Maximum rated values

repetitive peak forward off-state and reverse voltage
non-repetitive peak forward off-state voltage

non-repetitive peak reverse voltage

RMS on-state current

average on-state current

surge current

$I^2 t$ -value

critical rate of rise of on-state current

$v_L = 10 \text{ V}$, $i_{GM} = 1 \text{ A}$, $di_G/dt = 1 \text{ A}/\mu\text{s}$

$t_{vj} = t_{vj \max}$, $v_D = 0,67 V_{DRM}$

5.Kennbuchstabe/5th letter C

5.Kennbuchstabe/5th letter F

V_{DRM} , V_{RRM}

1200 1400 1600

V¹⁾

1800

V

1200 1400 1600

V

1800

V

1300 1500 1700

V

1900

V

4200

A

1990

A

2675

A

40000

A¹⁾

36000

A

8 · 10⁶

A²s

6,48 · 10⁶

A²s

200

A/μs

(di_T/dt)_{cr}

500

V/μs

(dv_D/dt)_{cr}

1000

V/μs

Charakteristische Werte

Durchlaßspannung

Schleusenspannung

Ersatzwiderstand

Zündstrom

Zündspannung

Nicht zündender Steuerstrom

Nicht zündende Steuerspannung

Haltestrom

Einraststrom

Vorwärts- und Rückwärts-Sperrstrom

Zündverzug

Freiwerdezeit

Characteristic values

on-state voltage

threshold voltage

slope resistance

gate trigger current

gate trigger voltage

gate non-trigger current

gate non-trigger voltage

holding current

latching current

forward off-state and reverse currents

gate controlled delay time

circuit commutated turn-off time

$t_{vj} = t_{vj \ max}$, $i_T = 8000 \text{ A}$

$t_{vj} = t_{vj \ max}$

$t_{vj} = t_{vj \ max}$

$t_{vj} = 25^\circ \text{C}$, $v_D = 6 \text{ V}$

$t_{vj} = 25^\circ \text{C}$, $v_D = 6 \text{ V}$

$t_{vj} = t_{vj \ max}$, $v_D = 6 \text{ V}$

$t_{vj} = t_{vj \ max}$, $v_D = 0,5 V_{DRM}$

$t_{vj} = t_{vj \ max}$, $v_D = 0,5 V_{DRM}$

$t_{vj} = 25^\circ \text{C}$, $v_D = 6 \text{ V}$, $R_A = 5 \Omega$

$t_{vj} = 25^\circ \text{C}$, $v_D = 6 \text{ V}$, $R_{GK} \geq 10 \Omega$

$i_{GM} = 1 \text{ A}$, $di_G/dt = 1 \text{ A}/\mu\text{s}$, $t_g = 20 \mu\text{s}$

$t_{vj} = t_{vj \ max}$, $v_D = V_{DRM}$, $v_R = V_{RRM}$

DIN IEC 747-6, $t_{vj}=25^\circ \text{C}$, $i_{GM}=1 \text{ A}$,

$di_G/dt=1 \text{ A}/\mu\text{s}$

$t_{vj} = t_{vj \ max}$, $i_{TM} = i_{TAVM}$, $v_{RM} = 100 \text{ V}$, $v_{DM} = 0,67 t_q$

v_{DRM} , $dv_D/dt = 20 \text{ V}/\mu\text{s}$, $-di_T/dt = 10 \text{ A}/\mu\text{s}$

4 Kennbuchstabe/4th letter Ω

v_T

$V_{T(TO)}$

r_T

I_{GT}

V_{GT}

I_{GD}

I_{GD}

V_{GD}

I_H

I_L

i_D , i_R

t_{gd}

typ. 250

μs

max. 2,053

V

0,90

V

0,120

mΩ

max. 250

mA

max. 2

V

max. 10

mA

max. 5

mA

max. 0,25

V

max. 300

mA

max. 1500

mA

max. 250

mA

max. 4

μs

typ. 250

μs

Thermische Eigenschaften

Innerer Wärmewiderstand

Thermal properties

thermal resistance, junction to case

Kühlfläche/cooling surface

R_{thJC}

max. 0,0133

°C/W

max. 0,0125

°C/W

Übergangs-Wärmewiderstand

thermal resistance, case to heatsink

Kühlfläche/cooling surface

R_{thCK}

max. 0,0030

°C/W

Höchstzul. Sperrsichttemperatur

max. junction temperature

einseitig/single-sided

$t_{vj \ max}$

125

°C

Betriebstemperatur

operating temperature

beidseitig/two-sided

$t_{c \ op}$

-40...+125

°C

Lagertemperatur

storage temperature

beidseitig/two-sided

t_{stg}

-40...+150

°C

Mechanische Eigenschaften

Si-Element mit Druckkontakt, Amplifying-Gate

Mechanical properties

Si-pellet with pressure contact, amplifying gate

F

30...65

kN

Anpreßkraft

clamping force

G

typ. 900

g

Gewicht

weight

30

mm

Kriechstrecke

creepage distance

C

Feuchtekategorie

humidity classification

DIN 40040

50

m/s²

Schwingfestigkeit

vibration resistance

f = 50 Hz

Gehäuse

case

Titelseite / front page

¹⁾ Gehäusegrenzstrom 36 kA (50Hz Sinushalbwelle). / Current limit of case 36 kA (50Hz sinusoidal half-wave).

T 1989 N

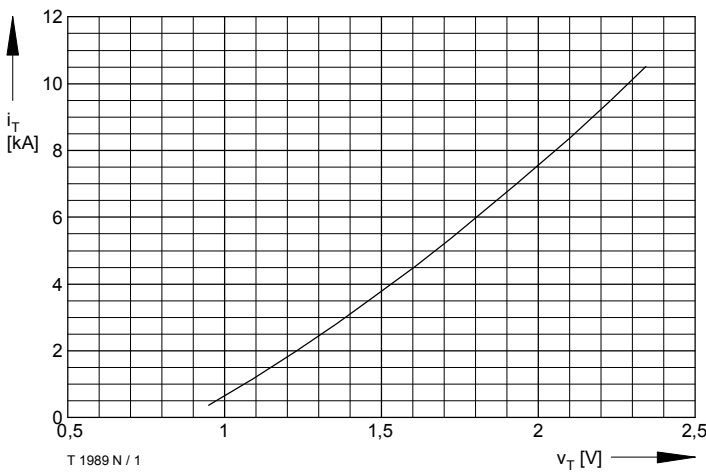


Bild / Fig. 1

Grenzdurchlaßkennlinie / Limiting on-state characteristic $i_T = f(v_T)$
 $t_{vj} = t_{vj \max}$

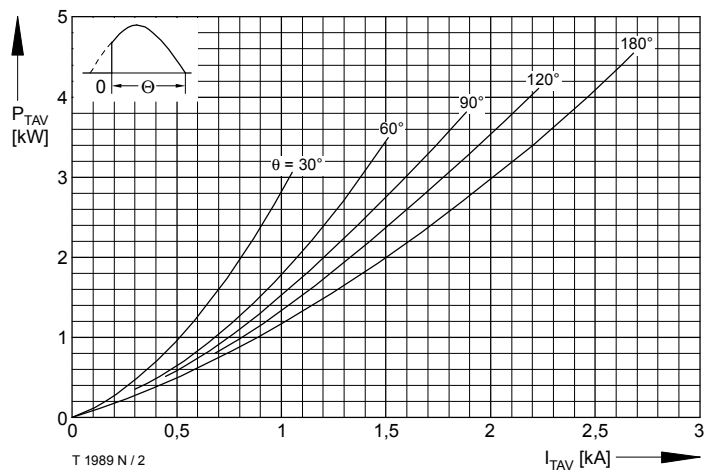


Bild / Fig. 2

Durchlaßverlustleistung / On-state power loss $P_{TAV} = f(I_{TAV})$
Parameter: Stromflußwinkel / Current conduction angle θ

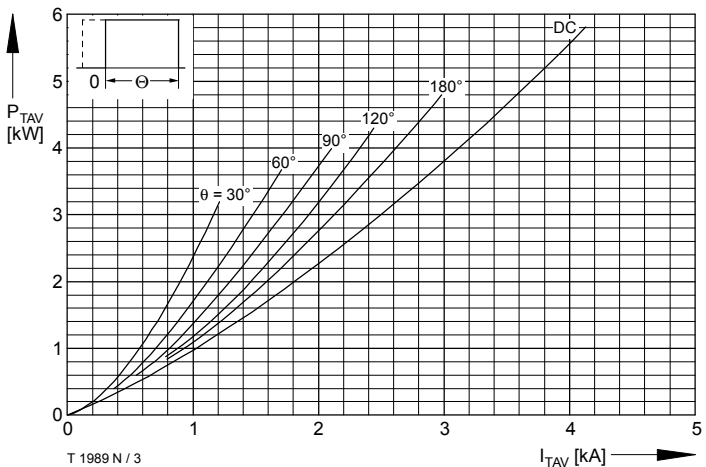


Bild / Fig. 3

Durchlaßverlustleistung / On-state power loss $P_{TAV} = f(I_{TAV})$
Parameter: Stromflußwinkel / Current conduction angle θ

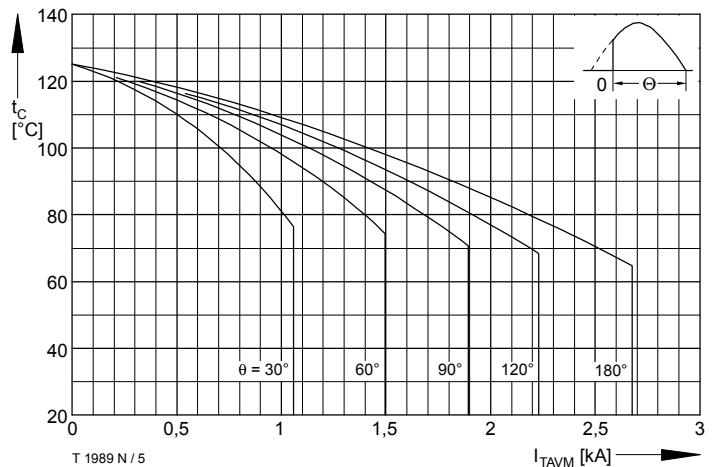


Bild / Fig. 5

Höchstzulässige Gehäusetemperatur / Maximum allowable case temperature $t_c = f(I_{TAVM})$
Beidseitige Kühlung / Two sided cooling
Parameter: Stromflußwinkel / current conduction angle θ
Berechnungsgrundlage P_{TAV} (Schaltverluste gesondert berücksichtigen) / Calculation base P_{TAV} (switching losses should be considered separately)

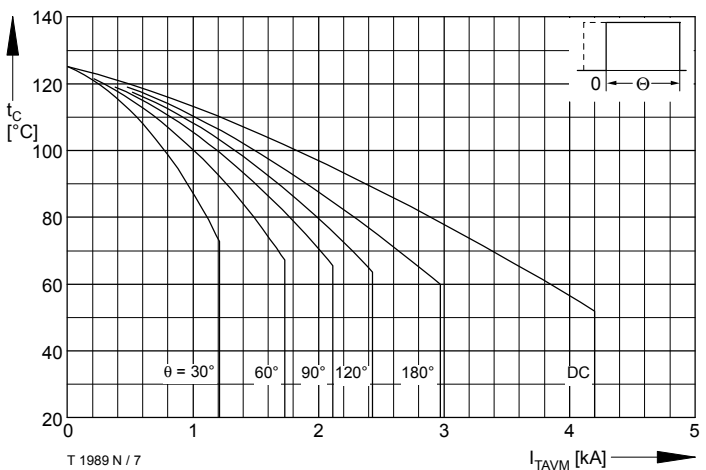


Bild / Fig. 7

Höchstzulässige Gehäusetemperatur / Maximum allowable case temperature $t_c = f(I_{TAVM})$
Beidseitige Kühlung / Two sided cooling
Parameter: Stromflußwinkel / current conduction angle θ

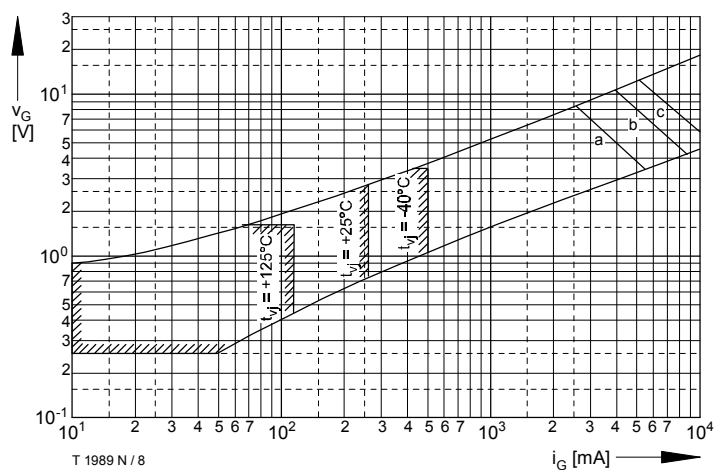


Bild / Fig. 8

Steuercharakteristik mit Zündbereichen / Gate characteristic with triggering areas $V_G = f(i_G)$, $V_D = 6 \text{ V}$
Parameter:
Steuerimpulsdauer / Puls duration t_g [ms] 10 1 0,5
Höchstzulässige Spitzensteuerleistung / Maximum allowable peak gate power [W] 20 40 60

T 1989 N

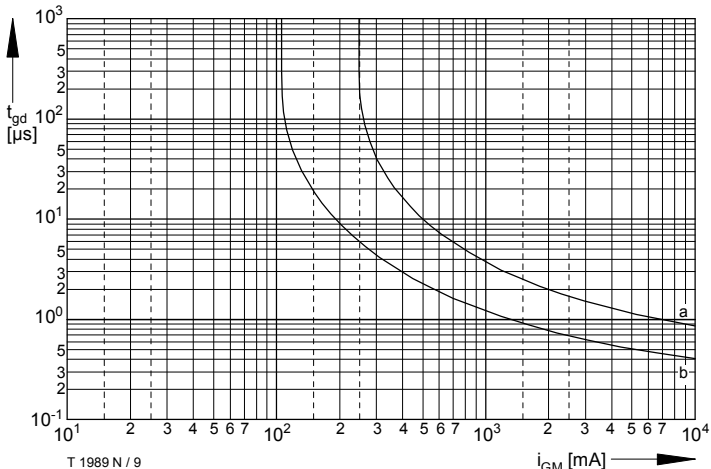


Bild / Fig. 9

Zündverzug / Gate controlled delay time $t_{gd} = f(i_{GM})$, $t_{vj} = 25^\circ\text{C}$,
 $d_i_G/dt = i_{GM}/1\mu\text{s}$
a - Maximaler Verlauf / Limiting characteristic
b - Typischer Verlauf / Typical characteristic

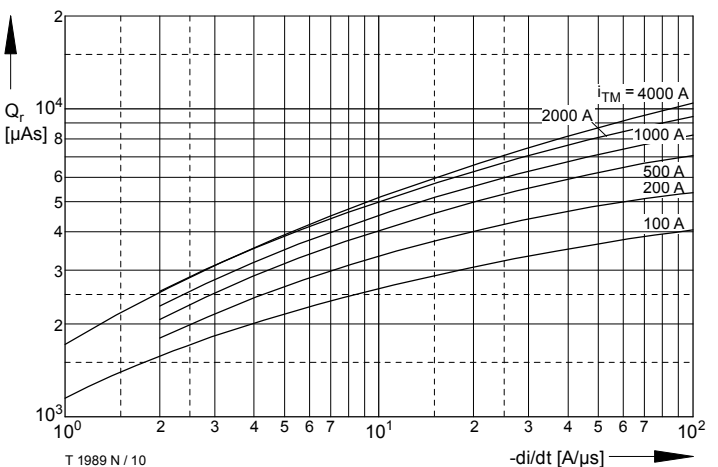


Bild / Fig. 10

Sperrverzögerungsladung / Recovered charge $Q_r = f(-di/dt)$
 $t_{vj} = t_{vj \text{ max}}$, $V_R \leq 0.5 V_{RRM}$, $V_{RM} = 0.8 V_{RRM}$
Parameter: Durchlaßstrom / On-state current i_{TM}

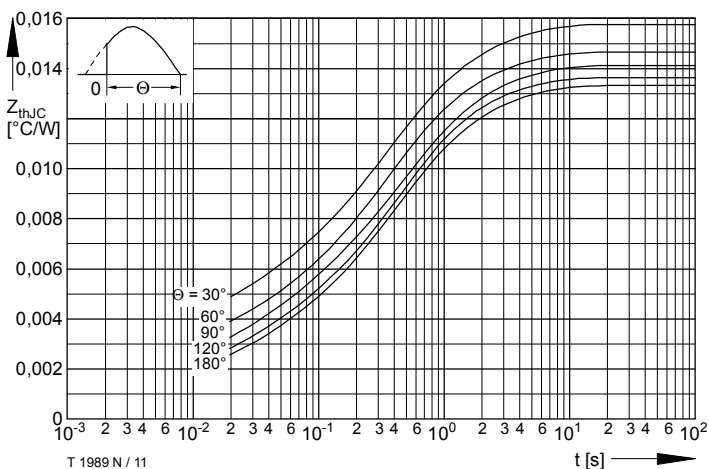


Bild / Fig. 11

Transienter innerer Wärmewiderstand / Transient thermal impedance
 $Z_{thJC} = f(t)$
Beidseitige Kühlung / Two-sided cooling
Parameter: Stromflußwinkel / Current conduction angle θ

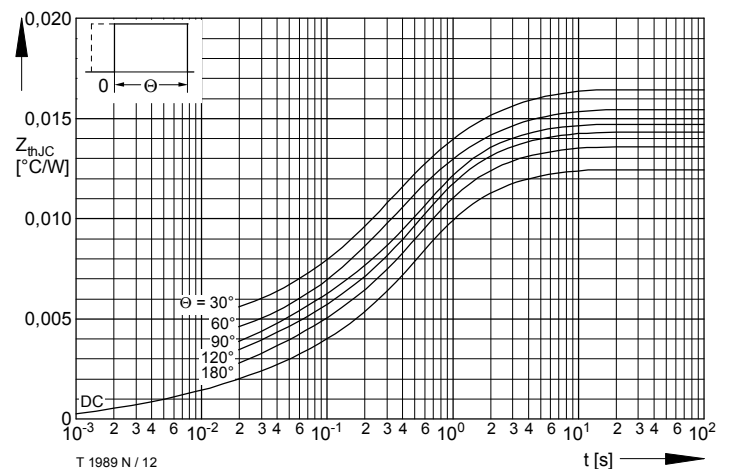


Bild / Fig. 12

Transienter innerer Wärmewiderstand / Transient thermal impedance
 $Z_{thJC} = f(t)$
Beidseitige Kühlung / Two-sided cooling
Parameter: Stromflußwinkel / Current conduction angle θ

Analytische Elemente des transistiven Wärmewiderstandes Z_{thJC} pro Zweig für DC
Analytical elements of transient thermal impedance Z_{thJC} per arm for DC

Beidseitige Kühlung / Two-sided cooling

Pos. n	1	2	3	4	5	6
$R_{thn} [\text{°C/W}]$	0,000036	0,0006	0,00097	0,002917	0,00456	0,0034
$\tau_n [\text{s}]$	0,000287	0,00298	0,0135	0,134	0,449	2,05

Analytische Funktion / Analytical function:

$$Z_{thJC} = \sum_{n=1}^{n_{\max}} R_{thn} (1 - e^{-\frac{t}{\tau_n}})$$